

# Эволюция электронных свойств твердых растворов SrFe<sub>1-x-y-z</sub>Al<sub>x</sub>Mn<sub>y</sub>Co<sub>z</sub>O<sub>3</sub> в зависимости от состава и степени локализации электронных состояний

В. М. Зайнуллина<sup>+\*1)</sup>, М. А. Коротин<sup>1)</sup>, В. Л. Кожевников<sup>1)</sup>

<sup>+</sup>Институт химии твердого тела Уральского отделения РАН, 620990 Екатеринбург, Россия

<sup>\*</sup>Институт физики металлов им. М. Н. Михеева Уральского отделения РАН, 620108 Екатеринбург, Россия

Поступила в редакцию 16 мая 2023 г.

После переработки 25 мая 2023 г.

Принята к публикации 25 мая 2023 г.

Методом когерентного потенциала изучен генезис электронного спектра в кубических твердых растворах феррита стронция SrFe<sub>1-x</sub>Al<sub>x</sub>O<sub>3</sub>, SrFe<sub>1-x</sub>Mn<sub>x</sub>O<sub>3</sub>, SrFe<sub>1-x</sub>Co<sub>x</sub>O<sub>3</sub>, SrFe<sub>1-2x</sub>Al<sub>x</sub>Co<sub>x</sub>O<sub>3</sub>, SrFe<sub>1-y-z</sub>Mn<sub>y</sub>Co<sub>z</sub>O<sub>3</sub>, где  $0 \leq x \leq 0.15$  и  $0 \leq y, z \leq 0.125$ . Учет электронных корреляций на 3d атомах позволил воспроизвести экспериментальные концентрационные тенденции изменения электронных и магнитных свойств. Показано, что солегирование феррита кобальтом и алюминием эффективно повышает как концентрацию электронных носителей, так и степень их локализации в SrFe<sub>1-x-0.15</sub>Al<sub>x</sub>Co<sub>0.15</sub>O<sub>3</sub>, что представляет интерес при разработке оксидных термоэлектриков. Относительно большой вклад делокализованных состояний на уровне Ферми позволяет идентифицировать твердые растворы SrFe<sub>1-y-z</sub>Mn<sub>y</sub>Co<sub>z</sub>O<sub>3</sub>, где  $y = z = 0.1–0.12$ , в качестве перспективных электродных материалов.

DOI: 10.31857/S1234567823130098, EDN: gbxpmt

Значительный интерес к первоскитоподобным оксидам ABO<sub>3</sub> (A = Sr, La) переходных металлов (ПМ) связан с их уникальными свойствами, такими, например, как металлическая проводимость, колossalное магнетосопротивление, высокотемпературная сверхпроводимость, ферромагнетизм и др. [1–3]. В частности, необычное сочетание транспортных и магнитных характеристик обнаружено в кубических фазах SrBO<sub>3</sub>, где B = Mn, Fe и Co. Например, стехиометрические оксиды SrFeO<sub>3</sub> и SrCoO<sub>3</sub> имеют проводимость металлического типа ( $\sim 10^3 \Omega^{-1} \text{ см}^{-1}$ ) [4, 5]. При этом, SrFeO<sub>3</sub> является неколлинеарным антиферромагнетиком [6], SrCoO<sub>3</sub> – ферромагнетиком [5], а SrMnO<sub>3</sub> – коллинеарным антиферромагнетиком [7]. Интересно, что для кубической структуры SrCoO<sub>3</sub> характерны высокие значения коэффициента Зеебека [8]. Также обнаружено, что даже относительно небольшие концентрации легирующей добавки ( $\sim 5\text{--}25$  ат. %) в B-подрешетке приводят к значительным изменениям свойств [9–12]. В частности, в твердых растворах SrFe<sub>1-x</sub>Co<sub>x</sub>O<sub>3</sub> возникает магнитный переход из антиферромагнитного (АФМ) состояния в ферромагнитное (ФМ) око-

ло  $x = 0.2$  [9], сопровождающийся аномалиями электросопротивления и магнитного момента [9–11]. Более сложные схемы солегирования, например, SrFe<sub>1-y-z</sub>Al<sub>x</sub>Mn<sub>y</sub>Co<sub>z</sub>O<sub>3</sub>, позволяют влиять на термодинамическую стабильность, термоэдс и другие свойства [12]. Электромагнитные свойства таких твердых растворов в значительной мере определяются электронной структурой вблизи уровня Ферми, которая, в свою очередь, зависит от степени локализации 3d электронов и силы электронных корреляций на узлах ПМ [5, 13]. Однако систематическое моделирование особенностей электронного спектра во взаимосвязи с изменениями состава твердых растворов SrFe<sub>1-y-z</sub>Al<sub>x</sub>Mn<sub>y</sub>Co<sub>z</sub>O<sub>3</sub> до настоящего времени не проводилось.

Современные подходы к моделированию электронной структуры сложных твердофазных соединений основаны на теории функционала электронной плотности [14] и используют ряд приближений. Для магнитных материалов наиболее широко применяется приближение локальной спиновой плотности (LSDA) [15]. Тем не менее расчеты электронных спектров ABO<sub>3</sub> методом LSDA часто приводят к недостаточно корректным результатам [16], поскольку электронные корреляции учитываются недостаточно [17]. В расчетах таких сильно коррелированных соедине-

<sup>1)</sup>e-mail: veronika@ihim.uran.ru; michael.korotin@imp.uran.ru; kozhevnikov@ihim.uran.ru

ний широко применяется метод LSDA + U [18], в котором используется важный параметр кулоновского (U) взаимодействия на *d*-оболочке ПМ. В выборе параметра U существует большая неопределенность даже в случае простых перовскитов  $\text{ABO}_3$ . Так, для отдельных соединений, например,  $\text{SrFeO}_3$  и  $\text{SrCoO}_3$ , в зависимости от базисного набора волновых функций, валентности и спинового состояния ПМ, величина параметра может меняться в пределах  $U \sim 3.0\text{--}7.5$  эВ [13, 19–21]. Очевидно, что в случае наличия нескольких *3d* элементов одновременно в В-подрешетке вопрос о выборе наиболее подходящих значений параметра U остается открытым [22]. Не менее важным эффектом является разная степень локализации  $t_{2g}$ - и  $e_g$ -состояний в перовскитах  $\text{ABO}_3$  [5, 23, 24]. Сильная В  $3d(e_g)$  – О  $2p$  гибридизация приводит к уширению полос  $e_g$  симметрии (делокализации), в то время как состояния  $t_{2g}$  симметрии образуют узкие (локализованные) зоны. Обычно данный эффект не учитывается в расчетах. Другой эффект, который влияет на формирование электронных свойств многокомпонентно легированного феррита – разупорядочение примесей. Применение традиционных подходов, основанных на использовании сверхъячеек, в данном случае приводит к методическим проблемам учета псевдоупорядочения доноров, особенно в случае наличия нескольких типов примесей. Альтернативным подходом к расчету электронного спектра неупорядоченных твердофазных систем является приближение когерентного потенциала (КП) [25]. В настоящей работе была использована современная версия метода когерентного потенциала [26], основанная на идеях теории динамического среднего поля [27], которая позволяет учитывать эффекты разупорядочения, вызванные примесью [28]. В рамках данной версии метода когерентного потенциала возможно проведение расчетов электронной структуры сильно коррелированных систем в приближении LSDA + U [29, 30] и с разной степенью локализации  $t_{2g}$  и  $e_g$  состояний на *3d*-оболочках атомов ПМ.

Исследование концентрационных зависимостей электронных свойств проведено для кубических стехиометрических твердых растворов  $\text{SrFe}_{1-x}\text{Al}_x\text{O}_3$ ,  $\text{SrFe}_{1-x}\text{Mn}_x\text{O}_3$ ,  $\text{SrFe}_{1-x}\text{Co}_x\text{O}_3$ ,  $\text{SrFe}_{1-x-0.15}\text{Al}_x\text{Co}_{0.15}\text{O}_3$ ,  $\text{SrFe}_{1-y-z}\text{Mn}_y\text{Co}_z\text{O}_3$  в пределах области гомогенности,  $0 \leq x \leq 0.15$ ,  $0 \leq y \leq 0.125$  и  $0 \leq z \leq 0.125$ . Установлена взаимосвязь электронных свойств твердых растворов (положение примесных Mn и Co полос  $t_{2g}$  и  $e_g$  симметрии относительно уровня Ферми  $E_F$ , полная плотность состояний на уровне Ферми  $n(E_F)$ ,

степень локализации состояний на  $E_F$ , величина спинового магнитного момента, заселенность *d*-орбиталей, спиновое состояние атомов ПМ и др.) с экспериментальными электротранспортными и магнитными свойствами. Показано, что твердые растворы  $\text{SrFe}_{1-x-0.15}\text{Al}_x\text{Co}_{0.15}\text{O}_3$  с высокими значениями  $n(E_F)$  и вкладом локализованных состояний Со в  $n(E_F)$  представляют интерес для создания термоэлектрика, а составы  $\text{SrFe}_{1-y-z}\text{Mn}_y\text{Co}_z\text{O}_3$  с доминированием делокализованных состояний Со и Mn в  $n(E_F)$ , при  $y = z = 0.1\text{--}0.12$ , являются перспективным электродным материалом.

**Таблица 1.** Вычисленные потенциальные параметры  $\Delta V$  в примесных узлах железа (эВ)

Параметр	$\text{Al}_{\text{Fe}}$	$\text{Mn}_{\text{Fe}}$	$\text{Co}_{\text{Fe}}$
$\Delta V(s)^{\uparrow}$	−8.8682	0.3396	−0.5237
$\Delta V(s)^{\downarrow}$	−8.8682	−0.3065	−0.9042
$\Delta V(p)^{\uparrow}$	−15.4571	3.2053	−1.3748
$\Delta V(p)^{\downarrow}$	−15.4571	3.0677	−2.4481
$\Delta V(d)^{\uparrow}$	41.3765	1.5972	0.8328
$\Delta V(d)^{\downarrow}$	41.3765	1.0047	−0.8308

В качестве исходных данных в расчетах методом когерентного потенциала использовали гамильтониан беспримесной системы  $H_0(k)$ , потенциальные параметры  $\Delta V(s)$ ,  $\Delta V(p)$  и  $\Delta V(d)$ , описывающие влияние одиночного “примесного” атома на состояния “собственного” атома, и параметры кулоновского взаимодействия  $U(t_{2g}\text{-Mn})$ ,  $U(t_{2g}\text{-Fe})$  и  $U(t_{2g}\text{-Co})$ . Самосогласованный гамильтониан  $H_0(k)$  был построен для расчетной ячейки  $\text{Sr}_2\text{Fe}_2\text{O}_6$  ( $z = 2$ ), полученной из кубической ячейки с экспериментальным параметром  $a_c = 3.864$  Å, являющимся средним параметром для синтезированных фаз  $\text{SrFe}_{1-x}\text{Al}_x\text{O}_3$ ,  $\text{SrFe}_{1-x}\text{Mn}_x\text{O}_3$  и  $\text{SrFe}_{1-x}\text{Co}_x\text{O}_3$ . При этом была использована процедура проектирования гамильтониана на *lmto*-орбиталах, установленного ранее в *tb-lmto-asa* расчетах [31] на соответствующие Ваньеорбитали [32]. Выбор размера ячейки обусловлен предположением о наличии антиферромагнитного упорядочения G-типа, т.е. антипаралельной ориентации спинов ближайших атомов железа [6]. Величины  $\Delta V(s)$ ,  $\Delta V(p)$  и  $\Delta V(d)$  в табл. 1 определяли, как разность центров *s*, *p* и *d* зон примеси и наиболее удаленного от примеси атома железа, вычисленную из самосогласованного *lmto* гамильтониана сверхъячееки  $\text{Sr}_8\text{Fe}_7\text{BO}_{24}$  с использованием процедуры проектирования [32]. Для примеси Mn был принят АФМ дальний порядок G-типа, для примеси Со – ФМ, установленные в экспериментах [5, 7, 9]. В *lmto* расчетах

использовали валентные  $5s$ ,  $4p$ ,  $5d$ -орбитали Sr;  $3s$ ,  $3p$ ,  $3d$ -орбитали Al;  $4s$ ,  $4p$ ,  $3d$ -орбитали Mn, Fe и Co, и  $1s$ -орбитали пустых сфер в междуузельных позициях перовскита  $\text{SrFeO}_3$ . Радиусы маффин-тин сфер для Sr, Fe (Al, Mn, Co), O и двух типов пустых сфер E1 и E2 выбирали равными 3.26, 1.76, 2.36 и 0.77, 1.01 а.е., соответственно. Электронные корреляции на  $3d$ -оболочках атомов учитывались в приближении LSDA + U [18].

Выбранные параметры кулоновского взаимодействия  $U(t_{2g})$  для  $t_{2g}$  состояний Mn, Fe и Co составили 2.0, 3.2 и 1.2 эВ соответственно. Выбор значений  $U(t_{2g})$  основан на предварительных расчетах, позволивших достичь наилучшего совпадения вычисленных электронных спектров при использовании экспериментальных параметров кубической ячейки и магнитного порядка и экспериментальных рентгеновских спектров эмиссии/поглощения для кубических оксидов  $\text{SrBO}_3$ . Величина параметра  $U$  широких делокализованных полос  $e_g$  симметрии считалась равной нулю [24]. Значения параметров обменного взаимодействия  $J$ , полученные из предварительных LSDA расчетов стехиометрических перовскитов  $\text{SrMnO}_3$ ,  $\text{SrFeO}_3$  и  $\text{SrCoO}_3$  по методике [32], составили 0.72, 0.65 и 0.32 эВ соответственно.

**Стехиометрический феррит  $\text{SrFeO}_3$  и твердый раствор  $\text{SrFe}_{1-x}\text{Al}_x\text{O}_3$ .** Вычисленный электронный спектр стехиометрического АФМ феррита стронция  $\text{SrFeO}_3$ , (рис. 1а, для одной проекции спина) включает широкую полосу гибридных O  $2p$  – Fe  $3d$ -состояний, частично заполненную полосу антисвязывающих Fe  $e_g^\uparrow$  (черная область) и O  $2p$  состояний и пустые полосы антисвязывающих Fe  $t_{2g}^\downarrow$  и Fe  $e_g^\downarrow$ -состояний (синяя область). Два основных максимума около  $-6.0$  и  $-2.5$  эВ, на размытой гауссианом полной плотности состояний (рис. 1а, красная линия) совмещаются с максимумами рентгеновского спектра фотоэмиссии  $\text{SrFeO}_3$  [33, 34]. Энергетический интервал 1.9 эВ между пиками  $t_{2g}^\downarrow$  и  $e_g^\downarrow$ -симметрии в зоне проводимости, практически совпадает с экспериментальным значением 2.0 эВ [33, 34]. Небольшая плотность состояний на уровне Ферми позволяет объяснить наблюдаемый в эксперименте металлический тип проводимости в  $\text{SrFeO}_3$  [4]. Вычисленная величина магнитного момента,  $3.25 \mu_B$ , на ионах железа согласуется с экспериментальными значениями  $3.1 \mu_B$  [35] и  $3.3 \mu_B$  [4]. Полная заселенность Fe  $3d$  орбиталей ( $d^\uparrow = 4.21$ ,  $d^\downarrow = 0.96$ ) соответствует высокоспиновому состоянию. Заметно меньшая величина магнитного момента по сравнению со значением  $\mu = 4 \mu_B$  в ионной конфигурации  $d^4$  указывает на сильную гибридизацию O  $2p$  и Fe  $3d$ -состояний.

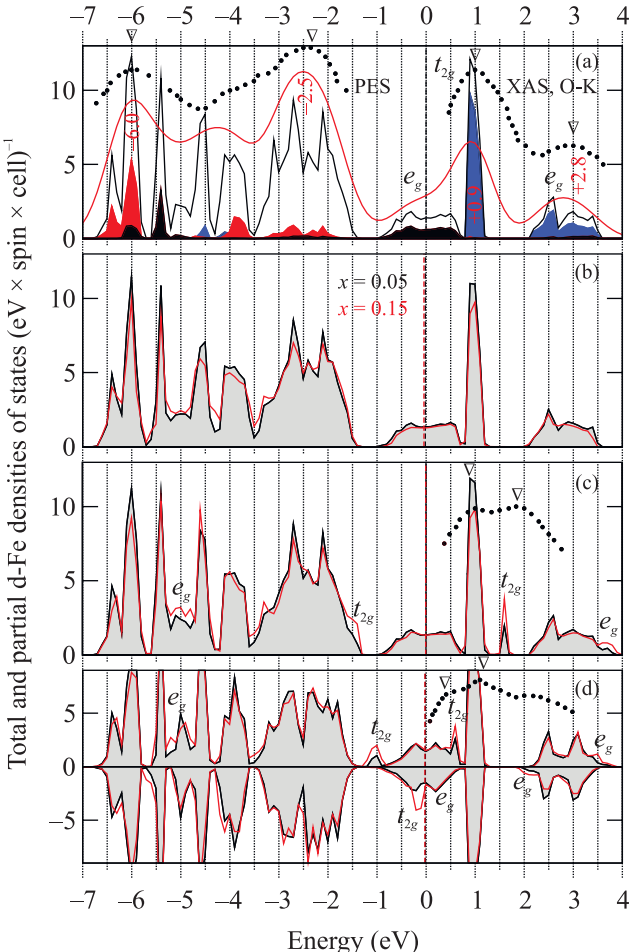


Рис. 1. (Цветной онлайн) Вычисленные полные (черная и красная линии) и парциальные Fe  $3d$  плотности состояний АФМ  $\text{SrFeO}_3$  (а),  $\text{SrFe}_{1-x}\text{Al}_x\text{O}_3$  (б),  $\text{SrFe}_{1-x}\text{Mn}_x\text{O}_3$  (с) и ФиМ  $\text{SrFe}_{1-x}\text{Co}_x\text{O}_3$  (д) твердых растворов при  $x = 0.05$  и  $0.15$ . Экспериментальные рентгеновские спектры эмиссии (PES) и поглощения (XAS) для  $\text{SrFeO}_3$  [33, 34],  $\text{SrFe}_{0.80}\text{Mn}_{0.20}\text{O}_3$  [33] и  $\text{SrFe}_{0.80}\text{Co}_{0.20}\text{O}_{3-x}$  [36] показаны точками, максимумы отмечены стрелками. Уровень Ферми показан вертикальными штриховыми линиями

Следствием этого является частичный перенос электронной плотности с кислородных лигандов на ионы железа. Таким образом, высокоспиновое состояние ионов железа в  $\text{SrFeO}_3$  представляет суперпозицию конфигураций  $d^4 + d^5 L$ , где  $L$ -дырка на  $p$ -оболочке кислорода, в соответствии с экспериментальными данными [13].

При легировании подрешетки железа алюминием уменьшается ширина и интенсивность основных максимумов в электронном спектре АФМ  $\text{SrFe}_{1-x}\text{Al}_x\text{O}_3$  (рис. 1б). При увеличении концентрации алюминия  $x$  в  $\text{SrFe}_{1-x}\text{Al}_x\text{O}_3$  наблюдается некоторое уменьшение

плотности состояний  $n(E_F)$  и смещение  $E_F$  примерно на 0.1 эВ вниз по шкале энергий, что определяется уменьшением числа валентных электронов Al и вклада  $s$ -,  $p$ -,  $d$ -состояний Al в  $n(E_F)$  по сравнению с их аналогами для Fe. Понижение величины  $n(E_F)$  (рис. 2) согласуется с экспериментально на-

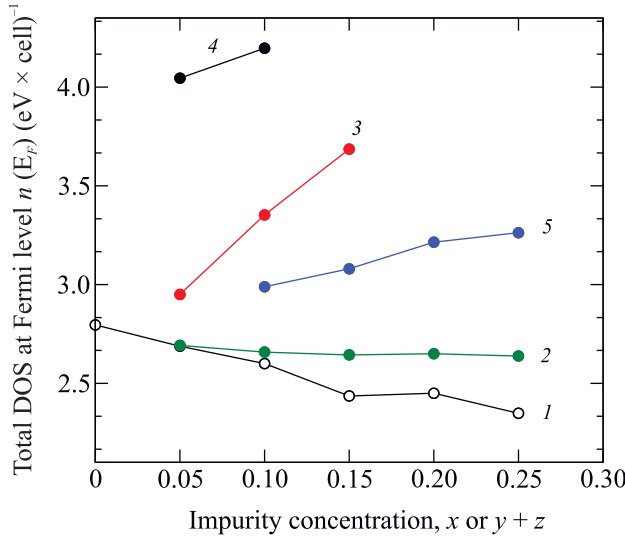


Рис. 2. (Цветной онлайн) Зависимости вычисленной полной плотности состояний на уровне Ферми,  $n(E_F)$ , от концентрации примесей,  $0.05 \leq x \leq 0.25$ ,  $0.10 \leq y + z \leq 0.25$ , в твердых растворах  $\text{SrFe}_{1-x}\text{Al}_x\text{O}_3$  (1),  $\text{SrFe}_{1-x}\text{Mn}_x\text{O}_3$  (2),  $\text{SrFe}_{1-x}\text{Co}_x\text{O}_3$  (3),  $\text{Fe}_{1-x-0.15}\text{Al}_x\text{Co}_{0.15}\text{O}_3$  (4),  $\text{SrFe}_{1-y-z}\text{Mn}_y\text{Co}_z\text{O}_3$  (5)

блудаемым уменьшением электронной проводимости в  $\text{SrFe}_{1-x}\text{Al}_x\text{O}_3$  с ростом  $x$  [12]. Кроме того, смещение уровня Ферми в низкоэнергетическую область электронного спектра при увеличении  $x$  сопровождается частичным опустошением антисвязывающих Fe  $e_g^\uparrow$ -состояний и приводит, соответственно, к повышению прочности связи Fe–O. Данный эффект позволяет объяснить ранее обнаруженное увеличение термодинамической стабильности феррита стронция при легировании алюминием [12]. С ростом концентрации Al в интервале  $x = 0.05–0.25$  расчетное значение локального магнитного момента на эффективных атомах железа  $\text{Fe}^{\text{eff}} = \text{Fe}_{1-x}\text{Al}_x$  понижается от 3.24 до 3.19  $\mu_B$ , рис. 3. Полная заселенность Fe<sup>eff</sup>-орбиталей уменьшается от 5.15e до 4.98e. В целом, можно видеть, что “легкое” легирование алюминием ( $x = 0.05$ ) представляется вполне полезным, поскольку, с одной стороны, лишь незначительно влияет на параметры электронного транспорта, а с другой – существенно повышает устойчивость феррита в восстановительных условиях.

### Твердые растворы $\text{SrFe}_{1-x}\text{Mn}_x\text{O}_3$ и

$\text{SrFe}_{1-x}\text{Co}_x\text{O}_3$ . На рисунке 1с приведены рассчитанные полные плотности состояний АФМ твердого раствора  $\text{SrFe}_{1-x}\text{Mn}_x\text{O}_3$  в зависимости от содержания марганца. С ростом  $x$  в  $\text{SrFe}_{1-x}\text{Mn}_x\text{O}_3$  наблюдается формирование, рост и небольшое уширение двух пиков плотности состояний около –1.4 эВ и +1.6 эВ. Пик в окрестности –1.4 эВ, состоящий из антисвязывающих Mn  $t_{2g}^\uparrow$ -состояний, полностью перекрывает валентную полосу в соответствии с экспериментом [33, 34]. Второй пик около +1.6 эВ образован антисвязывающими Mn  $t_{2g}^\downarrow$ -состояниями. Величина энергетической щели  $\sim 0.7$  эВ, разделяющая Mn  $t_{2g}^\downarrow$  примесные состояния от Fe  $t_{2g}^\downarrow$  полосы проводимости, близка к экспериментальному значению  $\sim 1$  эВ [33], рис. 1с. Вблизи энергий –4.9 эВ, +1.14 эВ и +3.75 эВ формируются более широкие полосы Mn  $e_g$ -состояний, гибридизованные с  $2p$ -состояниями O. Вычисленный электронный спектр  $\text{SrFe}_{0.85}\text{Mn}_{0.15}\text{O}_3$  хорошо совмещается с рентгеновскими спектрами поглощения и эмиссии  $\text{SrFe}_{0.80}\text{Mn}_{0.20}\text{O}_3$  [33, 34]. При увеличении концентрации Mn установлено слабое уменьшение  $n(E_F)$  (рис. 2), что согласуется с малым вкладом Mn  $e_g$  состояний в  $n(E_F)$ . Величина спинового магнитного момента 2.79  $\mu_B$  на атомах марганца остается практически неизменной и близкой к значению 2.8  $\mu_B$  в нелегированном  $\text{SrMnO}_3$ , рис. 3. Таким образом,

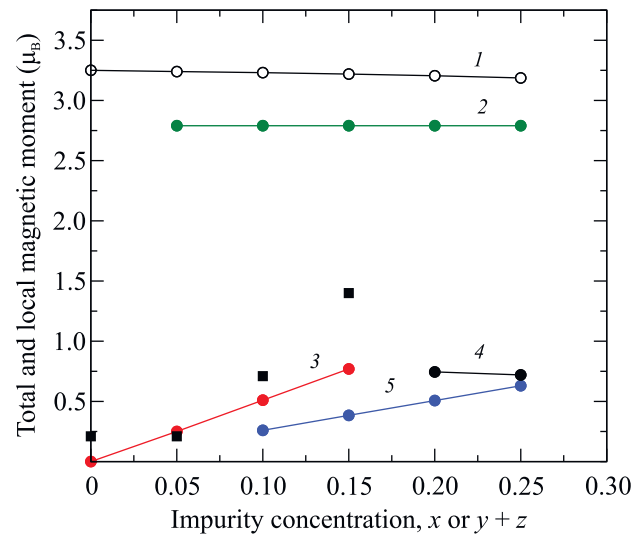


Рис. 3. (Цветной онлайн) Концентрационные ( $x$ ,  $y+z$ ) зависимости вычисленного локального/полного спинового магнитного момента ( $\mu$ ) в твердых растворах  $\text{SrFe}_{1-x}\text{Al}_x\text{O}_3$  (1),  $\text{SrFe}_{1-x}\text{Mn}_x\text{O}_3$  (2),  $\text{SrFe}_{1-x}\text{Co}_x\text{O}_3$  (3),  $\text{SrFe}_{1-x-0.15}\text{Al}_x\text{Co}_{0.15}\text{O}_3$  (4),  $\text{SrFe}_{1-y-z}\text{Mn}_y\text{Co}_z\text{O}_3$  (5) при  $0.05 \leq x \leq 0.25$ ,  $0.10 \leq y+z \leq 0.25$ . Приводятся также экспериментальные значения магнитного момента в  $\text{SrFe}_{1-x}\text{Co}_x\text{O}_3$  (черные квадраты) [11]

вследствие незначительных изменений плотности  $n(E_F)$  и локализации состояний на  $E_F$ , примесь Mn в исследованном диапазоне концентраций практически не должна влиять на уровень электронной проводимости в  $\text{SrFe}_{1-x}\text{Mn}_x\text{O}_3$ .

В отличие от марганца, замещение железа кобальтом приводит к существенным изменениям прифермиевской области электронного спектра ферримагнитного (ФиМ) твердого раствора  $\text{SrFe}_{1-x}\text{Co}_x\text{O}_3$ . Полные плотности состояний в расчете на спин для составов  $x = 0.05$  и  $0.15$  представлены на рис. 1d. С ростом концентрации кобальта в  $\text{SrFe}_{1-x}\text{Co}_x\text{O}_3$  наблюдается формирование, рост и небольшое уширение узких примесных Co(1)  $t_{2g}$  и Co(2)  $t_{2g}$  пиков около энергий  $-1.0$ ,  $-0.15$  и  $+0.6$  эВ. Пустой пик антисвязывающих Co(2)  $t_{2g}^\uparrow$ -состояний вблизи энергии  $0.6$  эВ частично перекрывается с Fe(2)  $t_{2g}^\uparrow$  зоной проводимости в хорошем соответствии с рентгеновским спектром поглощения твердого раствора  $\text{SrFe}_{0.8}\text{Co}_{0.2}\text{O}_{3-x}$  [36], рис. 1d. Главная особенность электронных спектров твердых растворов  $\text{SrFe}_{1-x}\text{Co}_x\text{O}_3$  заключается в формировании  $t_{2g}^\downarrow$ -пика частично заполненных антисвязывающих состояний Co(1) под уровнем Ферми около энергии  $-0.15$  эВ. Одновременно, в окрестности уровня Ферми формируются широкие полосы гибридизованных Co(1)  $e_g$  – O  $2p$  и Co(2)  $e_g$  – O  $2p$ -состояний. Также следует заметить, что вклад локализованных Co  $t_{2g}$ -состояний в плотность  $n(E_F)$  более чем в 2 раза превышает вклад делокализованных Co  $e_g$ -состояний и имеет тенденцию к увеличению с ростом содержания кобальта. Существование на уровне Ферми электронных состояний, значительно отличающихся характером локализации, может приводить к анизотропии свойств [5] и наблюдаемым в эксперименте аномалиям электронной проводимости, термоэдс и др. [9, 10, 12]. Максимальная величина плотности состояний  $n(E_F)$  в  $\text{SrFe}_{1-x}\text{Co}_x\text{O}_3$  наблюдается в составе  $x = 0.15$ , рис. 2, вблизи перехода АФМ состояния в ФМ [9]. Расчетные значения магнитного момента на атомах Co(1) и Co(2) в  $\text{SrFe}_{0.85}\text{Co}_{0.15}\text{O}_3$  составляют  $-0.15$  и  $+3.74 \mu_B$ , что соответствует низкоспиновому состоянию ионов  $\text{Co}^{3+}$  ( $d^6$ ) и высокоспиновому состоянию ионов  $\text{Co}^{4+}$  ( $d^6 L$ ). Полученные в результате расчета значения магнитного момента согласуются с наблюдаемой в эксперименте тенденцией к росту с увеличением содержания кобальта [11], рис. 3.

Наличие частично заполненного примесного пика с максимумом несколько ниже уровня Ферми на фоне делокализованных состояний благоприятствует сочетанию высокой термоэдс и проводимости [37].

Добавка акцепторной примеси алюминия позволяет производить тонкую подстройку положения уровня Ферми в пределах примесного пика. Действительно, данные на рис. 2 показывают, что солегирование алюминием сопровождается резким увеличением плотности состояний  $n(E_F)$  в результате смещения  $E_F$  в область низких энергий. При этом, плотность делокализованных Co  $e_g$ -состояний остается практически неизменной. Иными словами, полученные данные показывают, что феррит  $\text{SrFe}_{1-x}\text{Co}_x\text{O}_3$ , модифицированный небольшими добавками алюминия, является перспективным термоэлектрическим материалом.

**Твердые растворы  $\text{SrFe}_{1-y-z}\text{Mn}_y\text{Co}_z\text{O}_3$ .** При легировании феррита стронция одновременно атомами Mn и Co в электронном спектре кубических ферримагнитных твердых растворов  $\text{SrFe}_{0.90}\text{Mn}_{0.05}\text{Co}_{0.05}\text{O}_3$  и  $\text{SrFe}_{0.75}\text{Mn}_{0.125}\text{Co}_{0.125}\text{O}_3$  наблюдается формирование дополнительных состояний Mn и Co, рис. 4. В первом приближении электронный спектр твердых растворов  $\text{SrFe}_{1-y-z}\text{Mn}_y\text{Co}_z\text{O}_3$  можно рассматривать как суперпозицию спектров  $\text{SrFe}_{1-x}\text{Mn}_x\text{O}_3$  и  $\text{SrFe}_{1-x}\text{Co}_x\text{O}_3$ . Положение примесных Mn  $t_{2g}$ , Co  $t_{2g}$  и Co  $e_g$  полос относительно уровня Ферми практически не изменяется. По сравнению со спектром  $\text{SrFe}_{1-x}\text{Mn}_x\text{O}_3$  основное изменение в спектре  $\text{SrFe}_{1-y-z}\text{Mn}_y\text{Co}_z\text{O}_3$  связано с уширением Mn  $e_g$  полосы, рис. 4c. Это приводит к увеличению вклада делокализованных Mn  $e_g$ -состояний в  $n(E_F)$ . Небольшое смещение уровня Ферми в область высоких энергий в  $\text{SrFe}_{1-y-z}\text{Mn}_y\text{Co}_z\text{O}_3$  в сравнении с его положением в  $\text{SrFe}_{1-x}\text{Co}_x\text{O}_3$  приводит к уменьшению вклада локализованных состояний Co в  $n(E_F)$  и выравниванию вкладов локализованных и делокализованных состояний Co. В целом, с ростом концентрации Co и Mn в твердых растворах наблюдается тенденция роста  $n(E_F)$ , рис. 2. Следовательно, можно ожидать, что умеренное солегирование кобальтом и марганцем подрешетки железа должно способствовать повышению концентрации и подвижности электронных носителей в  $\text{SrFe}_{1-y-z}\text{Mn}_y\text{Co}_z\text{O}_3$ .

**Заключение.** Впервые с использованием метода когерентного потенциала при учете разных величин кулоновских взаимодействий на  $t_{2g}$ -оболочках Mn, Fe и Co определены особенности электронных спектров и рассчитаны значения спиновых магнитных моментов в твердых растворах  $\text{SrFe}_{1-x}\text{Al}_x\text{O}_3$ ,  $\text{SrFe}_{1-x}\text{Mn}_x\text{O}_3$ ,  $\text{SrFe}_{1-x}\text{Co}_x\text{O}_3$ ,  $\text{SrFe}_{1-x-0.15}\text{Al}_x\text{Co}_{0.15}\text{O}_3$ ,  $\text{SrFe}_{1-y-z}\text{Mn}_y\text{Co}_z\text{O}_3$  при  $0.05 \leq x \leq 0.15$ ,  $0.05 \leq y \leq 0.125$  и  $0.05 \leq z \leq 0.125$ .

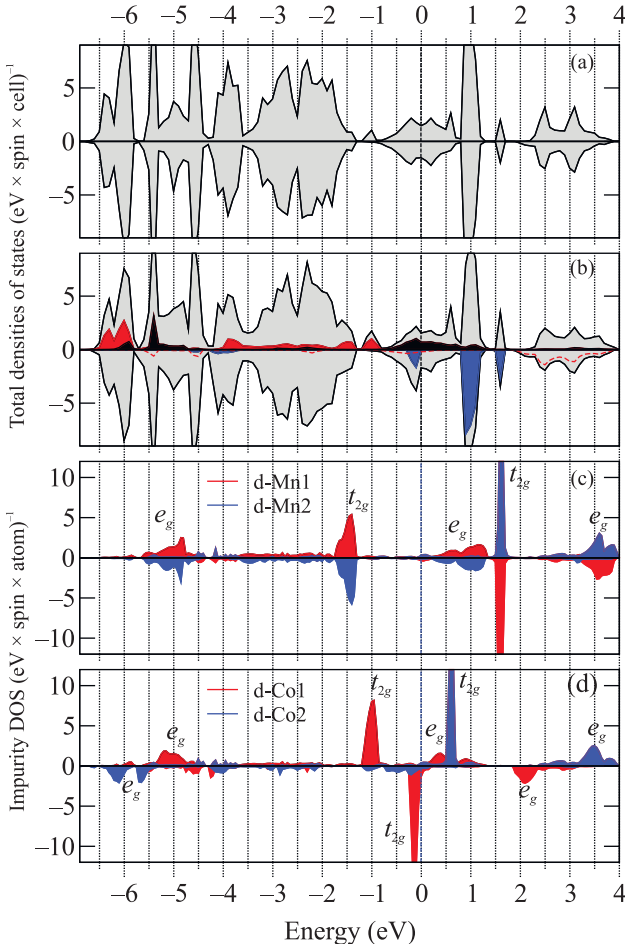


Рис. 4. (Цветной онлайн) Вычисленные полные (черная линия) плотности состояний (DOS) Фим твердых растворов  $\text{SrFe}_{0.90}\text{Mn}_{0.05}\text{Co}_{0.05}\text{O}_3$  (а) и  $\text{SrFe}_{0.75}\text{Mn}_{0.125}\text{Co}_{0.125}\text{O}_3$  (б). Парциальные Fe 3d (б) и примесные Mn 3d (с) и Co 3d (д) DOS приводятся для состава при  $y = z = 0.125$ . Черным и красным цветом представлены состояния атома Fe  $t_{2g}^\uparrow$  и  $e_g^\uparrow$  симметрии, а синим цветом и красной пунктирной линией приводятся состояния атома Fe  $t_{2g}^\downarrow$  и  $e_g^\downarrow$  симметрии (б). Уровень Ферми показан вертикальными штриховыми линиями

Для всех исследованных соединений характерно наличие конечной плотности состояний на уровне Ферми в согласии с экспериментом. Наиболее сильное влияние на электронные и магнитные свойства оказывает примесь кобальта, приводящая к возникновению узкого частично заполненного пика Co  $t_{2g}$ -состояний непосредственно под  $E_F$  на фоне выходящей на уровень Ферми полосы Co  $e_g$  состояний. В твердых растворах  $\text{SrFe}_{1-x}\text{Co}_x\text{O}_3$  вклад локализованных Co  $t_{2g}$ -состояний в  $n(E_F)$  доминирует над вкладом делокализованных Co  $e_g$ -состояний. При увеличении концентрации Co в  $\text{SrFe}_{1-x}\text{Co}_x\text{O}_3$

наблюдается повышение  $n(E_F)$  и  $\mu^{\text{tot}}$  в соответствии с имеющимися экспериментальными данными [10, 11]. Увеличение доли локализованных состояний в  $n(E_F)$  с ростом  $x$  способствует понижению подвижности электронных носителей. При этом, добавка акцепторной примеси алюминия в  $\text{SrFe}_{1-x}\text{Co}_x\text{O}_3$  еще более увеличивает величину  $n(E_F)$  и степень локализации состояний на  $E_F$ . Таким образом, солегирование феррита стронция кобальтом и алюминием позволяет эффективно влиять как на концентрацию электронных носителей, так и степень их локализации. Сочетание данных особенностей позволяет рассматривать  $\text{SrFe}_{1-x-0.15}\text{Al}_x\text{Co}_{0.15}\text{O}_3$  в качестве перспективного термоэлектрического материала. Иная ситуация наблюдается в твердых растворах  $\text{SrFe}_{1-y-z}\text{Mn}_y\text{Co}_z\text{O}_3$ , где на уровне Ферми образуется полоса Mn  $e_g$  состояний, благоприятствующая увеличению доли делокализованных состояний в  $n(E_F)$  и повышению подвижности электронных дырок. Максимальный вклад делокализованных состояний и относительно высокое значение плотности  $n(E_F)$  позволяют идентифицировать твердые растворы  $\text{SrFe}_{1-y-z}\text{Mn}_y\text{Co}_z\text{O}_3$ , где  $0.10 \leq y \leq 0.125$  и  $0.10 \leq z \leq 0.125$  в качестве перспективных электродных материалов.

Работа выполнена при поддержке Российского научного фонда в рамках проекта № 22-19-00129. Разработка методики расчетов выполнена в рамках государственного задания МИНОБРНАУКИ России (# AAAA-A19-119031890028-0 (ВМЗ) и # 122021000039-4 (МАК)).

1. R. J. D. Tilley, *Perovskites. Structure-property relationships*, John Wiley & Sons, Chichester (2016), p. 327.
2. J. B. Goodenough, *Localized to itinerant electronic Transition in perovskite oxides*, Springer-Verlag, Berlin, N.Y. (2001), p. 239.
3. Т. А. Шайхуллов, А. Р. Сафин, К. Л. Станкевич, А. Б. Матасов, М. П. Темирязева, Д. А. Винник, Б. Е. Живулин, С. А. Никитов, Письма в ЖЭТФ **117**, 620 (2023).
4. A. Lebon, P. Adler, C. Bernhard, A. V. Boris, A. V. Pimenov, A. Maljuk, C. T. Lin, C. Ulrich, and B. Keimer, Phys. Rev. Lett. **92**, 037202 (2004).
5. Y. Long, Y. Kaneko, Sh. Ishiwata, Y. Taguchi, and Y. Tokura, J. Phys.: Cond. Mat. **23**, 245601 (2013).
6. N. Hayashi, T. Yamamoto, A. Kitada, A. Matsuo, K. Kindo, J. Hester, H. Kageyama, and M. Takano, J. Phys. Soc. Jpn. **82**, 113702 (2013).
7. S. Kamba, V. Goian, V. Skoromets, J. Hejtmanek, V. Bovtun, M. Kempa, F. Borodavka, P. Vanek,

- A. A. Belik, J. H. Lee, O. Pecherova, and K. M. Rabe, Phys. Rev. B **89**, 064308 (2014).
- S. Balamurugan, K. Yamaura, A. B. Karki, D. P. Young, M. Arai, and E. Takayama-Muromachi, Phys. Rev. B **74**, 172406 (2006).
- Y. W. Long, Y. Kaneko, S. Ishiwata, Y. Tokunaga, T. Matsuda, H. Wadati, Y. Tanaka, S. Shin, Y. Tokura, and Y. Taguchi, Phys. Rev. B **86**, 064436 (2012).
- A. Maignan, Ch. Martin, N. Nguyen, and B. Raveau, Solid State Sci. **3**, 57 (2001).
- T. Takeda, T. Watanabe, Sh. Komura, and H. Fujii, J. Phys. Soc. Jpn. **56**, 731 (1987).
- M. V. Patrakeev, V. V. Kharton, Yu. A. Bakhteeva, A. L. Shaula, I. A. Leonidov, V. L. Kozhevnikov, E. N. Naumovich, A. A. Yaremchenko, and F. M. B. Marques, Solid State Sci. **8**, 476 (2006).
- M. Abbate, G. Zampieri, J. Okamoto, A. Fujimori, S. Kawasaki, and M. Takano, Phys. Rev. B **65**, 165120 (2002).
- W. Kohn, Rev. Mod. Phys. **71**, 1253 (1999).
- L. Hedin and B. I. Lundqvist, J. Phys. Chem. **4**, 2064 (1971).
- D. D. Sarma, N. Shanthi, S. R. Barman, N. Hamada, H. Sawada, and K. Terakura, Phys. Rev. Lett. **75**, 1126 (1995).
- Zh. Yang, Zh. Huang, L. Ye, and X. Xie, Phys. Rev. B **60**, 15674 (1999).
- V. I. Anisimov, I. V. Solovyev, M. A. Korotin, M. T. Czyzak, and G. A. Sawatzky, Phys. Rev. B **48**, 16929 (1993).
- Zh. Li, R. Laskowski, T. Iitaka, and T. Tohyama, Phys. Rev. B **85**, 134419 (2012).
- M. Hoffmann, V. S. Borisov, S. Ostanin, I. Mertig, W. Hergert, and A. Ernst, Phys. Rev. B **92**, 094427 (2015).
- S. Chowdhury, A. Jana, A. K. Mandal, R. J. Choudhary, and D. M. Phase, ACS Appl. Electron. Mater. **3**, 3060 (2021).
- H. Wu, W. Tan, Ch. Xiao, D. Huang, K. Deng, and Y. Qian, Solid State Commun. **151**, 1616 (2011).
- I. Solovyev, N. Hamada, and K. Terakura, Phys. Rev. B **53**, 7158 (1996).
- V. M. Zainullina, M. A. Korotin, and V. L. Kozhevnikov, Prog. Solid State Chem. **60**, 100284 (2020).
- P. Soven, Phys. Rev. **156**, 809 (1967).
- M. A. Коротин, Н. А. Скориков, В. М. Зайнуллина, Э. З. Курмаев, А. В. Лукоянов, В. И. Анисимов, Письма в ЖЭТФ **94**, 884 (2011).
- W. Metzner and D. Vollhardt, Phys. Rev. Lett. **62**, 324 (1989).
- В. М. Зайнуллина, М. А. Коротин, Письма в ЖЭТФ **116**, 103 (2022).
- М. А. Коротин, Н. А. Скориков, С. Л. Скорняков, А. О. Шориков, В. И. Анисимов, Письма в ЖЭТФ **100**, 929 (2014).
- М. А. Коротин, Н. А. Скориков, and А. О. Анокhin, Phys. B **526**, 14 (2017).
- O. K. Andersen and O. Jepsen, Phys. Rev. Lett. **53**, 2571 (1984).
- V. I. Anisimov, D. E. Kondakov, A. V. Kozhevnikov, I. A. Nekrasov, Z. V. Pchelkina, J. W. Allen, S.-K. Mo, H.-D. Kim, P. Metcalf, S. Suga, A. Sekiyama, G. Keller, I. Leonov, X. Ren, and D. Vollhardt, Phys. Rev. B **71**, 12511 (2005).
- J.-S. Kang, H. J. Lee, G. Kim, D. H. Kim, B. Dabrowski, S. Kolesnik, H. Lee, J.-Y. Kim, and B. I. Min, Phys. Rev. B **78**, 054434 (2008).
- D. H. Kim, H. J. Lee, B. Dabrowski, S. Kolesnik, J. Lee, B. Kim, B. I. Min, and J.-S. Kang, Phys. Rev. B **81**, 073101 (2010).
- T. Takeda, S. Komura, and N. Watanabe, in *Ferrites*, ed. by H. Watanabe, S. Iida, and M. Sugimoto, Center for Academic Publ., Tokyo (1981), p. 385.
- J. Lee, E. Ahn, Yu-S. Seo, Y. Kim, T.-Y. Jeon, J. Cho, I. Lee, and H. Jeen, Phys. Rev. Appl. **10**, 054035 (2018).
- А. В. Дмитриев, И. П. Звягин, УФН **180**, 821 (2010).